



دانشگاه حکیم سبزواری

## دانشگاه حکیم سبزواری

دانشکده علوم پایه

گروه فیزیک

پایان نامه جهت دریافت درجه کارشناسی ارشد فیزیک، گرایش ذرات بنیادی

نوسان نوترینو در حضور ماده هسته‌ای

اساتید راهنما :

دکتر سید علی اصغر علوی

دکتر کوروش جاویدان

تهیه کننده :

مصطفویه دهقانی مدیسه

خرداد ۱۳۹۲



دانشگاه حکیم شریعتی

## فرم چکیده‌ی پایان‌نامه‌ی دوره‌ی تحصیلات تکمیلی

### مدیریت تحصیلات تکمیلی

نام خانوادگی دانشجو: دهقانی مدیسه

استاد راهنمای: دکتر سید علی اصغر علوی

دانشکده: علوم پایه

رشته: فیزیک

مقطع: کارشناسی ارشد

عنوان پایان‌نامه: نوسان نوترینو در حضور ماده هسته‌ای

کلیدواژه‌ها: نوترینو، کوارک، نوسان، نقض ناوردایی لورنتسی

#### چکیده

در قسمت اول این پایان نامه، بر پایه بر هم‌کنش مؤثر جریان باردار لپتوپی و جریان هادرونی، یک هامیلتونی مؤثر از برهم‌کنش نوترینو با محیط هسته‌ای به دست می‌آوریم. با استفاده از هامیلتونی مؤثر، اختلاط و نوسان نوترینو در محیط هسته‌ای را مورد مطالعه قرار می‌دهیم. با محاسبه زاویه اختلاط و اختلاف مریع جرم از نوسان نوترینو در خلا الگویی برای نوسان نوترینو، در محیط هسته‌ای بدست می‌آوریم. با محاسبه و رسم نمودار احتمال نوسان نوترینوهای پر انرژی در محیط هسته‌ای را با نوسان نوترینو در خلا مقایسه می‌کنیم.

نتیجه اینکه در محیط هسته‌ای تبدیل  $\nu_e$  به  $\nu_\mu$  (نوسان سه طعم) در صد خیلی بیشتری نسبت به خلا دارد و نوسان نوترینو در محیط مادی با احتمال بسیار زیاد کم و با انرژی حدوداً صد هزار برابر نسبت به شرایط محیط هسته‌ای و خلا روی می‌دهد.

سپس الگو نوسان نوترینو به علت نقض ناوردایی لورنتسی را مطالعه می‌کنیم و آن را با نوسان نوترینو به علت جرم نوترینوها مقایسه می‌کنیم. در انرژی‌های خیلی بالا نوسان نوترینو خیلی متفاوت از حالت عادی نوسان می‌باشد.

با بررسی نمودارها به این نتیجه می‌رسیم که کمینه فاصله شبکه (a) در نوسان نوترینو در محیط هسته‌ای حدود  $10^{-17} cm$  می‌باشد و با توجه به اینکه در فاصله  $10^{-20} - 10^{-30} cm$  اثرات گرانشی کوانتمی دیده شده است می‌توان گفت نقض لورنتسی در محیط هسته‌ای به دلیل تاثیر محیط نمی‌باشد.

## فهرست مطالب

|    |       |  |
|----|-------|--|
| ۰  | ..... | فهرست شکل‌ها                                       |
| ۱  | ..... | مقدمه  |
|    |       | فصل اول: نوسان نوترینو در خلا و محیط ماده          |
| ۴  | ..... | مقدمه  |
| ۵  | ..... | ۱- منشا نوترینوها                                  |
| ۷  | ..... | ۲- ماتریس جرم نوترینوها                            |
| ۱۰ | ..... | ۳- برهمنش ضعیف                                     |
| ۱۱ | ..... | ۴- پدیده نوسان نوترینو در خلا                      |
| ۱۵ | ..... | ۵- احتمال نوسان سه طعم نوترینو در خلا              |
| ۱۸ | ..... | - احتمال نوسان نوترینوی اتمسفری                    |
| ۱۹ | ..... | - احتمال نوسان نوترینوی خورشیدی                    |
| ۲۰ | ..... | ۶- نوسان نوترینو در محیط ماده (روش اول)            |
| ۲۷ | ..... | ۷- نوسان نوترینو در محیط ماده (روش دوم)            |
|    |       | فصل دوم: نوسان دو طعم نوترینو در حضور ماده هسته‌ای |
| ۳۵ | ..... | مقدمه  |
| ۳۷ | ..... | ۱- نوسان دو طعم نوترینو در خلا                     |
| ۴۲ | ..... | ۲- نوسان دو طعم نوترینو در محیط طبیعی              |

۴۴ ..... ۳-۲ پراکندگی نوتروینو در محیط هسته‌ای

۴۹ ..... ۲-۴ نوسان دو طعم نوتروینو در محیط هسته‌ای

### فصل سوم: نوسان سه طعم نوتروینو در حضور ماده هسته‌ای

۵۵ ..... مقدمه

۵۷ ..... ۱-۳ ماتریس اختلاط در حضور ماده هسته‌ای

۶۲ ..... ۲-۳ احتمال نوسان سه طعم نوتروینو در حضور ماده هسته‌ای

### فصل چهارم: نوسان دو طعم نوتروینو در حضور عدم تقارن $CP$ و نقض ناوردایی لورنتسی

۷۶ ..... مقدمه

۸۱ ..... ۴-۱ نوسان نوتروینو در حضور نقض  $CP$  و در محیط مادی

۸۱ ..... ۴-۱-۱ مقدمه

۸۳ ..... ۴-۱-۲ تبدیل نوتروینو پر انرژی : حالت فعال - فعال

۸۵ ..... ۴-۱-۳ احتمال نوسان نوتروینو در حضور نقض  $CP$  در محیط مادی

۸۸ ..... ۴-۲ نوسان دو طعم نوتروینو با انرژی‌های بالا در حضور نقض تقارن لورنتس

۹۱ ..... ۴-۳ فرمیون‌ها در فضا - زمان گسسته

۹۳ ..... ۴-۴ نوسان نوتروینو به علت نقض لورنتسی

۹۵ ..... ۴-۵ احتمال نوسان دو طعم نوتروینو در خلا به علت نقض لورنتسی

۹۹ ..... ۴-۶ نوسان دو طعم نوتروینو با انرژی بالا در حضور نقض تقارن لورنتس در محیط مادی

۱۰۰ ..... ۴-۷ نوسان دو طعم نوتروینو با انرژی بالا در حضور نقض تقارن لورنتس در محیط هسته‌ای

۱۰۶ ..... فهرست منابع و مأخذ

## فهرست شکل‌ها

|          |                   |
|----------|-------------------|
| ۹.....   | شکل شماره‌ی (۱-۱) |
| ۱۰.....  | شکل شماره‌ی (۲-۱) |
| ۳۳.....  | شکل شماره‌ی (۳-۱) |
| ۴۶.....  | شکل شماره‌ی (۱-۲) |
| ۴۶.....  | شکل شماره‌ی (۲-۲) |
| ۵۳.....  | شکل شماره‌ی (۳-۲) |
| ۶۸.....  | شکل شماره‌ی (۱-۳) |
| ۶۹.....  | شکل شماره‌ی (۲-۳) |
| ۶۹.....  | شکل شماره‌ی (۳-۳) |
| ۷۰.....  | شکل شماره‌ی (۴-۳) |
| ۷۰.....  | شکل شماره‌ی (۵-۳) |
| ۷۱.....  | شکل شماره‌ی (۶-۳) |
| ۷۱.....  | شکل شماره‌ی (۷-۳) |
| ۷۲.....  | شکل شماره‌ی (۸-۳) |
| ۷۲.....  | شکل شماره‌ی (۹-۳) |
| ۸۸.....  | شکل شماره‌ی (۱-۴) |
| ۹۸.....  | شکل شماره‌ی (۲-۴) |
| ۱۰۳..... | شکل شماره‌ی (۳-۴) |

بنا به مدل استاندارد ذرات بنیادی، نوتروینوها ذراتی بدون جرم هستند. این در حالی است که مشاهدات نوتروینوها خورشیدی و اتمسفری و همچنین نوتروینوها ساطع شده از نیروگاه‌های هسته‌ای نشان می‌دهند که جرم نوتروینوها غیر صفر است<sup>[۱-۵]</sup>. مشاهداتی که با مدل استاندارد سازگار نیستند و با نسبت دادن جرمی کوچک به نوتروینوها می‌توان این مشاهدات را توضیح داد. آزمایش‌های دیویس و همکاران وی درباره‌ی نوتروینوها خورشیدی به مدت دو دهه کاهش چشمگیری (بی‌هنجری‌هایی) را در مقادیر تجربی شار نوتروینوها خورشیدی نسبت به مقادیر پیش‌بینی شده توسط مدل استاندارد نشان داد. برای توجیه این کاهش فرضیه‌های متعددی ارائه شد که در میان آن‌ها نظریه نوسان نوتروینوها<sup>۱</sup> که از طرف پونته کوروو و گریف<sup>۲</sup> عرضه شد بیش از فرضیه‌های دیگر مورد توجه فیزیکدانان ذرات بنیادی و اختر فیزیک قرار گرفت. طبق این نظریه طعم‌های مختلف نوتروینو می‌توانند به یکدیگر تبدیل شوند.

اولین نتیجه این پیشنهاد نقض پایستگی عدد لپتونی است. نشان داده شده در صورتی که این تبدیل در خلا انجام شود باید دست کم یکی از انواع نوتروینوها جرم‌دار باشد. البته از نظر تجربی تشخیص جرم نوتروینو که بنا به قاعده مقدار کوچکی خواهد بود عملی دشوار است. با وجود این اگر نوتروینوها، هر قدر اندک، جرم داشته باشند مسئله اختلاف طعم‌های نوتروینو و در نتیجه مسئله امکان نوسان آنها و مسئله طول موج نوسان مطرح می‌شود که همه‌ی اینها برای فیزیک ذرات بنیادی و اختر فیزیک اهمیتی فوق العاده دارند.

---

1- neutrino oscillation

2- Pontecorvo, Gribov

در حال حاضر سه امکان برای نوسان نوترینو وجود دارد:

نوع اول نوسان طعم نوترینو (تبدیل انواع به هم) است که در فیزیک نوترینوی خورشیدی و جوی مهم هستند، مثالی از این نوع، نوسان‌های نوترینوی الکترون به نوترینوی میوان و یا نوترینوی میوان به نوترینوی تآو است.

نوع دوم نوسان یا گذار بین حالت‌های هلیسیتی نوترینو از یک نوع (طعم) که همان نوسان اسپین نوترینو نام دارد.

نوع سوم که تلفیقی از هر دو نوع نوسان بالاست، یعنی گذار یا نوسان زمانی که هم طعم و هم هلیسیتی حالت‌ها تغییر می‌کنند. به این نوع نوسان، نوسان طعم- اسپین می‌گویند. برهم‌کنش نوترینو با یک میدان خارجی یک عامل مهم برای گذار بین حالت‌های مختلف طعم و یا اسپین می‌باشد.

در این پایان‌نامه به بررسی نوسان سه طعم نوترینو در محیط هسته‌ای می‌پردازیم. در فصل اول نوسان سه طعم نوترینو در خلا و محیط ماده را معرفی و تشریح می‌کنیم. در فصل دوم به بررسی نوسان دو طعم نوترینو در خلا، محیط ماده و محیط هسته‌ای بر اساس هامیلتونی جرم خواهیم پرداخت. در فصل سوم به نوسان سه طعم نوترینو در محیط هسته‌ای می‌پردازیم و نمودار احتمال تبدیل طعم نوترینو به طعم دیگر را بر حسب انرژی رسم و بحث خواهیم کرد. در فصل چهارم نوسان نوترینو در حضور نقض لورنتسی و عدم تقارن -  $CP$  در خلا، در محیط ماده و در محیط هسته‌ای بررسی می‌شود.

# فصل اول

نوسان نوترینوها

در خلا و محیط ماده

## مقدمه

ذرات بنیادی بر دو نوع اند: ۱- بوزون‌ها که اسپین صحیح دارند. ۲- فرمیون‌ها (لپتون‌ها و کوارک‌ها)

که ذرات با اسپین نیمه صحیح هستند.

لپتون‌ها را می‌توان به سه نسل تقسیم کرد:

نسل اول شامل  $\bar{e}_L, \bar{e}_R, \nu_{eL}$  و پادذررهای آنها می‌شود. بار الکتریکی  $\nu_{eL}$  صفر است و این ذره

تنها برهمنکنیش ضعیف دارد و به همین علت آشکارسازی نوترینو بسیار دشوار است و با این که

نوترینوها در اطراف ما بسیار زیادند، اطلاعات ما درباره آنها بسیار کمتر از دیگر ذرات است.

نسل دوم لپتون‌ها، میوان ( $\bar{\mu}_R, \bar{\mu}_L$ ) و  $\nu_{\mu L}$  و پادذررهای ذرات مذکور تشکیل شده است. کلیه

اعداد کوانتمی ذرات نسل دوم برابر اعداد کوانتمی ذرات متناظر آنها در نسل اول است، اما جرم

میوان حدود ۲۰۰ برابر جرم الکترون می‌باشد. در نتیجه میوان برخلاف الکترون ذرهای ناپایدار است.

نسل سوم لپتون‌ها شامل  $(\tau_L, \tau_R)$  و پادذررات آنها می‌باشد که اعداد کوانتمی برابر با ذرات

متناظر آنها در نسل اول و دوم دارند. عدد لپتونی هر پادذره لپتون برابر با منفی عدد لپتونی ذره

متناظرش است. عدد لپتونی سایر ذرات (کوارک‌ها و بوزون‌ها) برابر صفر است.

## دو نکته قابل توجه:

۱- در مدل استاندارد نسل‌های مختلف با هم مخلوط نمی‌شوند. لپتونهای هر نسل را به عددی،

به نام عدد لپتونی نسل<sup>۱</sup> منسوب می‌کنند و آن را با  $n_i$  نشان می‌دهند. عدد لپتونی هر پادزره

برابر با منفی عدد لپتونی ذره متناظر است. عدد لپتونی سایر ذرات (کوارک‌ها و بوزون‌ها)

برابر صفر است. عدد لپتونی هر نسل در مدل استاندارد بقا دارد. در نتیجه فرآیندهایی چون

$\mu^+ \gamma \rightarrow e^+ \gamma$  و  $\mu^+ \tau^+ \rightarrow e^- e^+ e^+$  در چارچوب مدل استاندارد امکان پذیر نیستند.

حدهای آزمایشگاهی بسیار قوی بر روی آهنگ این فرآیندها در کتابچه اطلاعات ذرات

بنیادی<sup>۲</sup> دیده می‌شود[۱]. اصطلاحاً گفته می‌شود در مدل استاندارد عدد لپتونی بقا دارد.

۲- در مدل استاندارد نوترینوی راستگرد وجود ندارد.

## ۱-۱ منشا نوترینوها

منابع متنوعی برای تولید نوترینو وجود دارد. بنا به مدل‌های شناخته شده کیهان‌شناسی، نوترینوها پس

از فوتون‌ها فراوان‌ترین ذرات بنیادی در طبیعت هستند. هنگام به وجود آمدن عالم در پدیده مهبانگ<sup>۳</sup>

نوترینوهای زیادی به همراه فوتون و ذرات دیگر به وجود آمدند که نوترینوهای زمینه<sup>۴</sup> خوانده می-

شوند. در زمان حال انرژی این نوترینوها بسیار کم ( $10^{-4} \text{ eV}$ ) است و در نتیجه آشکارسازی آنها

بسیار مشکل می‌باشد به طوری که تا به امروز(۲۰۱۲) این نوترینوها به طور مستقیم مشاهده نشده‌اند.

---

1- *lepton flavor number*

2- *Particle Data Group booklet or PDG*

3- *big bang*

4- *background neutrinos*

الف- نوتروینوهای خورشیدی: در مرکز خورشید، طی چند مرحله همگوشی پروتون و تبدیل

به هلیم انجام می‌پذیرد که با تولید  $7 \text{ eV}$  همراه است، انرژی نوتروینوهای خورشیدی کمتر از  $14/5 \text{ MeV}$

و میانگین آنها حدود  $7 \text{ MeV}$  می‌باشد<sup>[2]</sup>. از دهه ۶۰ میلادی تا به امروز آشکارسازهای متنوعی با

فن‌آوری‌های مختلف برای مشاهده نوتروینوهای خورشیدی طراحی و ساخته شده‌اند<sup>[3]</sup>. از جمله

مهمنترین آشکارسازها می‌توان به سوپر-کامیوکاند<sup>۱</sup> در ژاپن و اس ان <sup>۲</sup> در کانادا اشاره کرد که هم

اکنون در حال مشاهده و جمع‌آوری داده‌ها هستند. یافته‌های این دو آشکارساز با پیشگویی‌های مدل

استاندارد سازگاری ندارد.

ب- نوتروینوهای اتمسفری: همانطوری که می‌دانید جو اطراف زمین به صورت همسانگرد مورد

اصابت اشعه کیهانی قرار می‌گیرد. ذرات پر انرژی اشعه کیهانی هنگام برخورد با مولکول‌های هوا

ذرات پایون تولید می‌کنند. پایون‌ها پیش از رسیدن به زمین وامی‌پاشند و منجر به تولید نوتروینوهایی

می‌شوند که اصطلاحاً نوتروینوهای اتمسفری نامیده می‌شوند:

$$\pi^+ \rightarrow \mu^+ + \nu_\mu \Rightarrow \mu^+ \rightarrow e^+ + \nu_e + \bar{\nu}_\mu$$

$$\pi^- \rightarrow \mu^- + \bar{\nu}_\mu \Rightarrow \mu^- \rightarrow e^- + \bar{\nu}_e + \nu_\mu$$

انرژی این نوتروینها حدود  $1 \text{ MeV}$  و بالاتر است. آشکارسازهای مختلفی برای مطالعه نوتروینوهای

اتmosفری ساخته شده‌اند و یا در دست طراحی هستند که از مهمترین آنها می‌توان به آشکارساز

سوپر-کامیوکاند در ژاپن اشاره کرد. از آنجایی که انرژی نوتروینوهای اتمسفری بسیار بالاتر از انرژی

خورشیدی است، این دو در آشکارساز سوپر-کامیوکاند قابل تمیز هستند.

---

1- *Super-Kamiokande*

2- *SNO*

ج- نوترینوهای راکتوری: نیروگاههای هسته‌ای که بر پایه شکافت هسته کار می‌کنند مقدار  $\bar{V}_e$

زیادی ساطع می‌کنند. طیف انرژی این نوترینوها با استفاده از محاسبات هسته‌ای قابل پیش‌بینی است. می‌توان شار کل نوترینوها را با توجه به توان راکتور تخمین زد. نوترینوهای راکتوری برای آزمایش‌های نوترینو ایده آل هستند چرا که کنترل بر منبع آنها نسبتاً زیاد است. از جمله این آزمایش‌ها می‌توان به کاملند<sup>۱</sup> در ژاپن اشاره کرد که کمک مهمی به فهم خواص نوترینو کرده است. فهرستی از آشکارسازهای نوترینوهای راکتوری نیز موجود می‌باشد<sup>[۴]</sup>.

د- نوترینوهای زمینی: در داخل زمین عناصر رادیواکتیو وجود دارند. این عناصر  $\bar{V}_e$  با انرژی حدود  $2\text{-}3 MeV$  تولید می‌کنند. با مطالعه این نوترینوها توسط آشکارساز کاملند می‌توان اطلاعات جدید درمورد نمایه  $^2$  زمین به دست آورد<sup>[۵]</sup>. امید است فیزیک نوترینو راههای تازه‌ای برای زلزله‌شناسی و خدمت به بشر بگشاید.

## ۱- ماتریس جرم نوترینوها

در اینجا برای آشنایی بیشتر ماتریس جرم نوترینوها را به اختصار توضیح می‌دهیم. در بحث نوترینوها هرگاه سخن از مدل استاندارد به میان می‌آید منظور مدل استاندارد متعارف است که به آن جرم نوترینو به صورت خاصی که در این قسمت توضیح داده می‌شود اضافه شده است. ماتریس  $3 \times 3$  مجلدor جرم نوترینوها را می‌توان به صورت زیر نوشت:

$$m^\dagger m = U diag[m_1^2, m_2^2, m_3^2] U^\dagger$$

به طور کلی ماتریس اختلاط را می‌توان به صورت  $U = U_{23} U_{13} U_{12}$  پارامتریندی کرد که در آن:

---

1- Kamland

2- Profile

$$U_{12} = \begin{pmatrix} \cos \theta_{12} & \sin \theta_{12} & 0 \\ -\sin \theta_{12} & \cos \theta_{12} & 0 \\ 0 & 0 & 1 \end{pmatrix} ; \quad U_{23} = \begin{pmatrix} 1 & 0 & 0 \\ 0 & \cos \theta_{23} & \sin \theta_{23} \\ 0 & -\sin \theta_{23} & \cos \theta_{23} \end{pmatrix} ; \quad U_{13} = \begin{pmatrix} \cos \theta_{13} & 0 & \sin \theta_{13} e^{+i\delta} \\ 0 & 1 & 0 \\ -\sin \theta_{13} e^{-i\delta} & 0 & \cos \theta_{13} \end{pmatrix}$$

با مطالعه پدیده نوسان نوترینوهای مقدار عددی  $\Delta m_{21}^2 \equiv m_2^2 - m_1^2$  و  $\theta_{12}, \theta_{13}$

به دست آمد. اما مقدار عددی  $\theta_{13}$  هنوز مشخص نشده است و تنها یک حد

بالا بر آن وجود دارد. با مطالعه نوترینوهای خورشیدی ونتایج کاملند می‌توان مقدار  $\theta_{12}$  و  $\Delta m_{21}^2$  را

به دست آورد. مقدار این پارامترها برای نخستین بار با مطالعه نوترینوهای خورشیدی به دست آمد-

اند. به همین دلیل به آنها  $\Delta m_{solar}^2$  و  $\theta_{solar}$  نیز اطلاق می‌گردد [۶].

$$\Delta m_{21}^2 = (7.5 - 9) \times 10^{-5} eV^2 \quad \sin^2 \theta_{12} = 0.25 - 0.4$$

با مطالعه نوترینوهای اتمسفری می‌توان مقدار عددی  $|\Delta m_{31}^2|$  و  $\theta_{13}$  را بدست آورد به همین

علت به آنها  $\Delta m_{atm}^2$  و  $\theta_{atm}$  اطلاق می‌شود. با تحلیل همزمان نتایج آشکارسازهای K2K و چوز،

اطلاعات زیر بدست آمده است [۶]:

$$|\Delta m_{31}^2| = (1.3 - 3) \times 10^{-5} eV^2 \quad \sin^2 \theta_{23} = 0.3 - 0.7 \quad \sin^2 \theta_{13} < 0.06$$

در ماتریس  $m^\dagger m$  پارامترهای دیگری نیز وجود دارند که اطلاعات ما درباره آنها کمتر است:

۱- نوسان نوترینوها تنها به تفاضل مجدور جرم‌های نوترینوها حساس است، بنا بر این با مطالعه

نوسان نوترینوها نمی‌توان مقدار  $m_i^2$  را به دست آورد. برای به دست آوردن مقدار  $m_i^2$  باید از

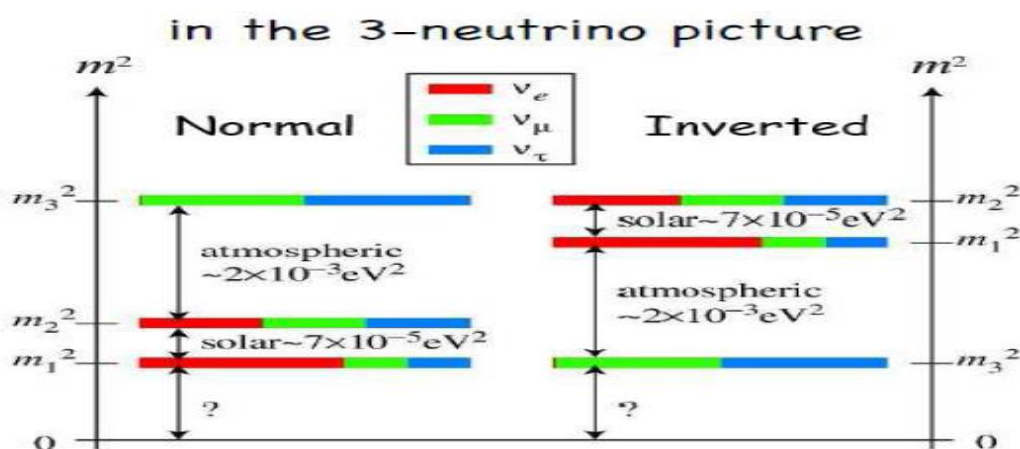
روش‌های دیگر مدد جست. یک روش مطالعه طیف انرژی الکترون ساطع شده در واپاشی‌های

هسته‌ای است.

۲- با سه نسل، سه  $\Delta m^2$  و  $\Delta m_{13}^2$  وجود دارند اما فقط دو تایی از آنها مستقل هستند.

در توضیح بیشتر بدون از دادن عومومیت مسئله در بررسی سه نوترینو دو نوع

ترتیب جرمی متفاوت می‌توان در نظر گرفت که در شکل(۱-۱) نشان داده شده است:



شکل شماره‌ی (۱-۱): ترتیب قرار گرفتن جرم نوترینو طبیعی و معکوس

ترتیب قرار گرفتن نرمال بصورت  $m_1 \ll m_2 \ll m_3$  می‌باشد در این حالت  $m_2 \approx \sqrt{\Delta m_{21}^2}$

$m_3 \approx \sqrt{\Delta m_{32}^2}$  از طرف دیگر ترتیب قرار گرفتن معکوس را داریم که در این حالت جرم‌ها بصورت

$m_3 > m_1 \approx m_2$  قرار دارند. در هر دو حالت ترتیب قرارگیری، نوترینوها می‌توانند جرم‌های تبهگن

داشته باشند. علامت  $\Delta m_{31}^2$  تا به امروز مشخص نشده است اگر  $\Delta m_{31}^2$  مثبت باشد، اصطلاحاً گفته

می‌شود ترتیب قرار گرفتن جرم نوترینو طبیعی<sup>۱</sup> است. در مقابل اگر  $\Delta m_{31}^2$  منفی باشد گفته می‌شود

ترتیب قرار گرفتن جرم نوترینو معکوس<sup>۲</sup> است. یکی از اهداف آزمایش‌های Long baseline تعیین

علامت  $\Delta m_{31}^2$  است.

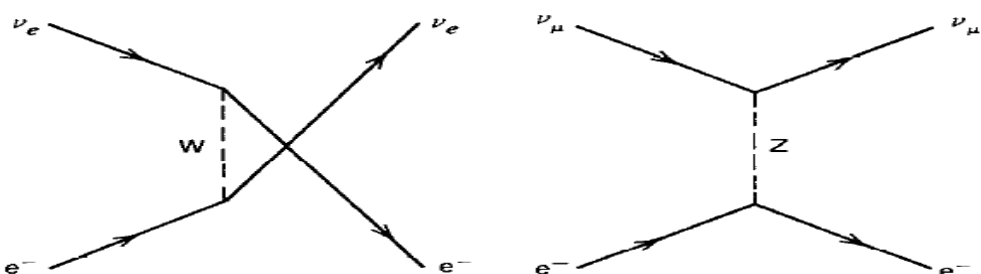
1-normal hierarchy

2-inverted hierarchy

-۳- ماتریس  $3 \times 3$  مجاز دور جرم نوترینوها ( $m^\dagger m$ ) دارای یک فاز ناقص  $CP$  است که معمولاً فاز دیراک خوانده می‌شود و با  $\delta$  نمایش داده می‌شود. در واقع ماتریس هرمیتی می‌تواند دو فاز دیگر هم داشته باشد اما این فازها فیزیکی نیستند و با بازنیتی میدانها می‌توان آنها را حذف کرد. اگر  $\delta$  مخالف صفر باشد ( $l' \neq l$ ) به ازای  $P(v_l \rightarrow v_{l'})$  می‌تواند (حتی در خلا) مخالف باشد. توجه کنید که  $P(v_l \rightarrow v_{l'}) \neq P(\bar{v}_l \rightarrow \bar{v}_{l'})$  به معنی نقض تقارن  $CP$  است).<sup>[7]</sup>

### ۱-۳- برهمنش ضعیف

در حالت کلی دو نوع برهمنش ضعیف داریم: برهمنش ضعیف ختنی (با ذره واسطه  $Z$ ) و برهمنش ضعیف باردار (با ذره واسطه  $W^+$  یا  $W^-$ ). جرم ذرات واسطه  $W^\pm$  و  $Z$  از مرتبه گیگا الکترون ولت هستند. لپتونها و کوارکها در هر دو برهمنش‌های ضعیف (ختنی و باردار) شرکت می‌کنند. در شکل (۲-۱) نمودار پراکندگی  $v_e$  از  $e^-$  در حضور ذره واسطه  $W^-$  نمونه‌ای از برهمنش ضعیف باردار و نمودار پراکندگی  $v_e$  از  $e^-$  در حضور ذره واسطه  $Z$  نمونه‌ای از برهمنش ضعیف ختنی می‌باشد.



شکل شماره‌ی (۲-۱): نمونه‌ای از برهمنش ضعیف باردار لپتونی (شکل سمت چپ) و نمونه‌ای از برهمنش ضعیف ختنی لپتونی (شکل سمت راست)

اگر ویژه‌حالت‌های نوترینو که در برهمکنش‌های ضعیف (ختنی و باردار) وارد می‌شوند با ویژه-حالات‌های ماتریس جرمی مطابقت نداشته باشند، در اینصورت هر طعم نوترینو (الکترون، میوان و تاو) ترکیب خطی خاصی از ویژه‌حالات‌های جرمی می‌باشند. هنگام انتشار در فضا، هر ترکیب خطی به دلیل ویژه مقادیر متفاوت جرمی، بطور متفاوت متحول خواهد شد، در نتیجه یک نوترینوی بیرون آمده از منبع بصورت ویژه‌حالات‌های ضعیف مشخص ممکن است به ویژه‌حالات‌های دیگری تبدیل شود، یعنی پدیده نوسان رخ دهد. ویژه‌حالات‌های نوترینو در برهمکنش‌های ضعیف را به اختصار ویژه‌حالات‌های ضعیف و نیز ویژه‌حالات‌های هامیلتونی آزاد را ویژه‌حالات‌های جرمی می‌گوییم [۸].

#### ۱-۴ پدیده نوسان نوترینوها در خلا

در مدل استاندارد ذرات، سه نوع لپتون باردار ( $e, \mu, \tau$ ) وجود دارند که جرم مشخص دارند و یا به عبارت دیگر ویژه حالت جرم<sup>۱</sup> هستند. لپتون‌ها را به صورت جمعی با ( $l_\alpha; \alpha = e, \mu, \tau$ ) نشان می‌دهند. لپتون‌ها در راس جریان باردار<sup>۲</sup> با نوترینویی جفت می‌شود که ویژه حالت طعم<sup>۳</sup> است. به عنوان مثال فرآیند  $\nu_e \bar{l}_\alpha \rightarrow W^+ \rightarrow l^+$  را در نظر بگیرید آنچه به همراه  $e^+$  تولید می‌شود ویژه حالت طعم  $\nu_e$  است. با این حال ویژه حالت طعم  $\nu_e$  لزوماً جرم مشخص ندارد و ترکیبی خطی از ویژه حالات‌های جرم است در اینصورت هر نوترینوی تولید شده توسط چشمیه یک برهم‌نهی همدوسی از ویژه حالات‌های جرمی است [۹].

$$|\nu_l\rangle = \sum_{i=1}^3 U_{li}^* |\nu_i\rangle \quad ; \quad (l = e, \mu, \tau) \quad ; \quad i = 1, 2, 3 \quad (1-1)$$

1- mass eigenstate

2- charged current vertex

3- flavor eigenstate

| $v_i$ ⟩ ویژه حالت‌های جرم نوتريینو هستند و  $U_{li}$  ماتریسی یکانی است که ماتریس اختلاط<sup>۱</sup> خوانده می‌شود. نوتريینوی با طعم مشخص را با تکانه  $p$  در نظر بگیرید. پس از گذشت زمان  $t$  و مسافت  $L$ , حالت ⟨ $v_l$ ⟩ به حالت ⟨ $v_l; t$ ⟩ به صورت زیر در خلا تحول<sup>۲</sup> می‌باید:

$$|v_l\rangle = \sum_{i=1}^3 U_{li}^* |v_i\rangle \rightarrow |v_l; t\rangle = e^{-iHt} |v_l\rangle = \sum_{i=1}^3 e^{-iE_it} U_{li}^* |v_i\rangle \quad (2-1)$$

که در آن  $E_i$  ویژه مقدار انرژی می‌باشد.

$$H |v_i\rangle = E_i |v_i\rangle \rightarrow E_i = \sqrt{P_i^2 + m_i^2}$$

از آنجایی که  $m_i \ll p$  است می‌توان از تقریب فرانسیسی استفاده کرد و نوشته:  $E_i = p + m_i^2 / (2p)$

در نتیجه چنین خواهیم داشت:

$$|v_l\rangle = \sum_{i=1}^3 U_{li}^* |v_i\rangle; \langle v_l | = \sum_{i=1}^3 U_{il} \bar{e}^{-iE_it} \langle v_i |; \langle v_{l'} | v_l; t \rangle = \bar{e}^{-iPt} \sum_{i=1}^3 U_{li} U_{li}^* e^{-im_i^2 t / (2p)} \quad (3-1)$$

با این فرض که نوتريینو تقریباً با سرعت نور حرکت خواهد کرد بنابراین  $L \approx t$  است.  $\bar{e}^{-iE_it}$  انتشارگر

بین حالت‌ها با جرم معین می‌باشد. بطور مقایسه‌ای برای دامنه گذار ( $A(v_l \rightarrow v_{l'})$ ) در طول زمان  $t$  داریم:

$$A(v_l \rightarrow v_{l'}) = \sum_{i=1}^3 U_{li}^* \bar{e}^{-iE_it} U_{l'i} \quad (4-1)$$

احتمال تبدیل  $v_l$  به  $v_{l'}$  پس از گذشت زمان  $t$ ,  $P(v_l \rightarrow v_{l'}; t)$ , برابر است با:

$$P(v_l \rightarrow v_{l'}; t) = |\langle v_{l'} | v_l; t \rangle|^2 = \sum_{j=1}^3 \sum_{i=1}^3 U_{li} U_{lj}^* U_{l'i}^* U_{lj} \bar{e}^{i(m_j^2 - m_i^2)t / (2p)} \quad (5-1)$$

1- mixing matrix

2- evolution

3- lepton flavor violation

در حالت کلی به ازای  $(l' \neq l)$ ، احتمال  $P(\nu_l \rightarrow \nu_{l'})$  می‌تواند غیر صفر باشد یا به عبارت دیگر عدد لپتونی مربوط به هر نسل می‌تواند نقض شود.<sup>۳</sup> رفتار  $P(\nu_l \rightarrow \nu_{l'}; t)$  بر حسب زمان سینوسی است به همین جهت، این پدیده را نوسان می‌نامند. رابطه (۱-۵) نشان می‌دهد که برای تحقق نقض عدد لپتونی هر نسل و یا به عبارت دیگر برای غیر صفر بودن  $P(\nu_l \rightarrow \nu_{l'})$  به ازای  $(l' \neq l)$  دو شرط زیر را باید برآورده کند:

الف- به ازای  $j \neq i$ ،  $m_i \neq m_j$  یا به عبارت دیگر همگنی جرم نداشته باشیم. ب- ماتریس یکانی  $U$  متناسب با ماتریس واحد نباشد. اصطلاحاً گفته می‌شود که باید اختلاط<sup>۱</sup> وجود داشته باشد. در مدل استاندارد ذرات بنیادی، شرط اول برقرار نیست ( $m_1 = m_2 = m_3 = 0$ ). در نتیجه، در چارچوب مدل استاندارد، عدد لپتونی منسوب به هر نسل بقا دارد و به ازای  $(l' \neq l)$ ،  $P(\nu_l \rightarrow \nu_{l'}; t) = 0$ . همین توضیحات را می‌توان در مورد پادنوترینوها نیز تکرار کرد، با این تفاوت که ماتریس اختلاط پادنوترینوها به جای  $U^*$ ، با  $U$  داده می‌شود.

$$|\bar{\nu}_l\rangle = \sum_{i=1}^3 U_{li} |\bar{\nu}_i\rangle \quad (6-1)$$

رابطه (۶-۱) با رابطه (۱-۱) قابل مقایسه می‌باشد. تساوی  $P(\nu_l \rightarrow \nu_{l'}) = P(\bar{\nu}_l \rightarrow \bar{\nu}_{l'})$  را می‌توان بصورت مستقیم اثبات کرد.  $t$  زمان بین تولید و آشکارسازی نوترینو است.  $L$  مسافت بین منبع نوترینو و محل آشکارساز است.

$$t \equiv L, c = 1 \quad ; \quad \Delta m_{ji}^2 = m_j^2 - m_i^2 \quad ; \quad (E_j - E_i)t = \frac{\Delta m_{ji}^2}{2E} L \quad (7-1)$$

$$P(\nu_l \rightarrow \nu_{l'}) = \left| \sum_{i=1}^3 U_{ri} e^{-\frac{i \Delta m_{ji}^2 L}{2E}} U_{li}^* \right|^2$$

1- mixing

$$\text{از شرط یکانی بودن ماتریس } U \text{ داریم} : \sum_i U_{li} U_{li}^* = \delta_{ll} \quad (8-1)$$

$$P(v_l \rightarrow v_{l'}) = \left| \delta_{ll'} + \sum_{i \neq l} U_{li} \left( e^{-i \frac{\Delta m_{ki}^2 L}{2E}} - 1 \right) U_{li}^* \right|^2$$

رابطه بالا را می‌توان به صورت زیر بسط داد:

$$P(v_l \rightarrow v_{l'}) = \sum_{i,k} U_{li} U_{l'k}^* U_{li}^* U_{lk} e^{-i \frac{\Delta m_{ki}^2 L}{2E}} = \sum_i |U_{li}|^2 |U_{li}|^2 + 2R_e \sum_{i,k} U_{li} U_{l'k}^* U_{li}^* U_{lk} e^{-i \frac{\Delta m_{ki}^2 L}{2E}} \quad (9-1)$$

با استفاده از خاصیت یکانی بودن ماتریس  $U$  می‌توان روابط زیر را به دست آورد:

$$\sum_i |U_{li}|^2 |U_{li}|^2 = \delta_{ll'} - 2R_e \sum_{i>k} U_{li} U_{l'k}^* U_{li}^* U_{lk} \quad (10-1)$$

از روابط (9-1) و (10-1) نتیجه می‌گیریم:

$$P(v_l \rightarrow v_{l'}) = \delta_{ll'} - 2R_e \sum_{i>k} U_{li} U_{l'k}^* U_{li}^* U_{lk} + 2R_e \sum_{i,k} U_{li} U_{l'k}^* U_{li}^* U_{lk} e^{-i \frac{\Delta m_{ki}^2 L}{2E}} \quad (11-1)$$

$$P(v_l \rightarrow v_{l'}) = \delta_{ll'} - 2R_e \sum_{i>k} U_{li} U_{l'k}^* U_{li}^* U_{lk} (1 - e^{-i \frac{\Delta m_{ki}^2 L}{2E}}) \quad (12-1)$$

برای هر عدد مختلط ( $a + bi$ ) داریم:

$$\operatorname{Re}(ab) = \operatorname{Re}(a)\operatorname{Re}(b) - \operatorname{Im}(a)\operatorname{Im}(b) \quad (13-1)$$

$$1 - e^{-i \frac{\Delta m_{ki}^2 L}{2E}} = 1 - \cos\left(\frac{\Delta m_{ki}^2 L}{2E}\right) + i \sin\left(\frac{\Delta m_{ki}^2 L}{2E}\right) \quad (14-1)$$

با استفاده از روابط (12-14) خواهیم داشت:

$$P(v_l \rightarrow v_{l'}) = \delta_{ll'} - 2R_e \sum_{i>k} U_{li} U_{l'k}^* U_{li}^* U_{lk} \left( 1 - \cos\left(\frac{\Delta m_{ki}^2 L}{2E}\right) - i \sin\left(\frac{\Delta m_{ki}^2 L}{2E}\right) \right) \quad (15-1)$$

با جایگزینی روابط (13-1) و (14-1) در رابطه (12-1) چنین خواهیم داشت:

$$P(v_l \rightarrow v_{l'}) = \delta_{ll'} - 2R_e \sum_{i>k} U_{li} U_{l'k}^* U_{li}^* U_{lk} \left( 1 - \cos\left(\frac{\Delta m_{ki}^2 L}{2E}\right) \right) + 2 \operatorname{Im} \sum_{i>k} U_{li} U_{l'k}^* U_{li}^* U_{lk} \sin\left(\frac{\Delta m_{ki}^2 L}{2E}\right) \quad (16-1)$$

$$1 - \cos\left(\frac{\Delta m_{ki}^2 L}{2E}\right) = 2 \sin\left(\frac{\Delta m_{ki}^2 L}{4E}\right) \quad (17-1)$$

$$P(v_l \rightarrow v_{l'}) = \delta_{ll'} - 4R_e \sum_{i>k} U_{li} U_{l'k}^* U_{li}^* U_{lk} \sin^2\left(\frac{\Delta m_{ki}^2 L}{4E}\right) + 2 \operatorname{Im} \sum_{i>k} U_{li} U_{l'k}^* U_{li}^* U_{lk} \sin\left(\frac{\Delta m_{ki}^2 L}{2E}\right) \quad (18-1)$$

عبارتی که در بالا سبب نقض تقارن  $CP$  می‌شود در واقع جمله‌ای است که برای نوترینو و آنتی-نوترینو علامت متضاد دارد یعنی قسمت موهومی جمله سوم، که در حالت دو طعم چون این جمله همیوغ مختلط ندارد (شامل عامل فاز  $\delta$  نیست) پس در این حالت هیچ نقض  $CP$  مشاهده نمی‌شود. اما در حالت سه طعم نقض  $CP$  داریم (برای حالت نوسان دو نوترینو در خلا ماتریس اختلاط فقط به یک پارامتر وابسته است و عامل فاز وجود ندارد یعنی نوسان با دو ویژه حالت نسبت به تقارن  $CP$  پایسته است).

### ۱-۵ احتمال نوسان سه طعم نوترینو در خلاء

حالت ساده‌ای از نوسان نوترینو، یعنی نوسان نوترینو هنگامی که در خلا منتشر می‌شوند را بررسی می‌کنیم. ویژه‌حالتهای طعم (ویژه‌حالتهای برهمنکش ضعیف) برای سه طعم نوترینو توسط ماتریس تبدیل  $U$  به ویژه‌حالتهای جرم مرتبط می‌شوند.

$$\begin{pmatrix} v_1 \\ v_2 \\ v_3 \end{pmatrix} = U \begin{pmatrix} v_e \\ v_\mu \\ v_t \end{pmatrix} \quad |v_l\rangle = U^* |v_i\rangle \quad ; \quad |v_i\rangle = U |v_l\rangle \quad (19-1)$$

سه زاویه اختلاط ( $\theta_{12}, \theta_{23}, \theta_{13}$ )، یک زاویه فاز (نقض  $CP$ )  $\delta$  و سه ویژه بردار نرمالیزه داریم:

$$|i\rangle \quad (i=1,2,3) \quad ; \quad \langle i|k\rangle = \delta_{ik} \quad ; \quad 0 \leq \delta \leq 2\pi \quad ; \quad 0 \leq \theta_{12} \leq \pi \quad ; \quad 0 \leq \theta_{13} \leq \pi \quad ; \quad 0 \leq \theta_{23} \leq \pi$$

اولین چرخش اویلر قسمت زاویه اختلاط  $\theta_{12}$  حول بردار  $|3\rangle$  تولید بردارهای متعامد و نرمالیزه می‌کند. ویژه حالت سه طعم نوترینو قبل و بعد از اولین چرخش را به صورت زیر نمایش می‌دهند:

$$|\nu\rangle = \begin{pmatrix} |1\rangle \\ |2\rangle \\ |3\rangle \end{pmatrix} \quad , \quad |\nu\rangle^{(1)} = U^{(1)} |\nu\rangle \quad , \quad U^{(1)} = \begin{pmatrix} C_{12} & S_{12} & 0 \\ -S_{12} & C_{12} & 0 \\ 0 & 0 & 1 \end{pmatrix} \quad , \quad |\nu\rangle^{(1)} = \begin{pmatrix} |1\rangle^{(1)} \\ |2\rangle^{(1)} \\ |3\rangle^{(1)} \end{pmatrix} \quad (20-1)$$

از روابط  $C_{12} = \cos \theta_{12}$ ,  $S_{12} = \sin \theta_{12}$  در رابطه (۲۰-۱) استفاده شده است.